

5. Бомба А. Я., Пригорницький Д. О. Чисельне розв'язання обернених нелінійних крайових задач на квазіконформні відображення в двозв'язних деформованих середовищах // Вісник Львівського університету. Серія прикладна математика та інформатика. – 2003. – Вип. 7. – С.3-10.
6. Полубаринова-Кочина П. Я. Теория движения грунтовых вод. – М.: Наука, 1977. – 664 с.
7. Марчук Г. И. Методы вычислительной математики. – Киев: Наукова думка, 1980. – 334 с.
8. Самарский А. А. Теория разностных схем. – М.: Наука, 1977. – 656 с.
9. Годунов О. К., Прокопов Г. П. О расчетах конформных отображений и построении разностных сеток // Журнал вычислительной математики и математической физики. – 1967. – Т. 7. – № 5. – С.1031-1059.
10. Савула Я. Г., Шинкаренко Г. А., Вовк В. Н. Некоторые приложения метода конечных элементов. – Львов: Редакционно-издательская группа Львов. ун-та, 1981. – 38 с.
11. Ляшко И. И., Великоиваненко И. М., Лаврик В. И., Мистецкий Г. Е. Метод мажорантных областей в теории фильтрации. – Киев: Наукова думка, 1974. – 200 с.

Numerical algorithm for solving of inverse nonlinear boundary value problems on quasiconformal mappings in doubly-connected warped environments limited by equipotential lines and surfaces of current is modified for cases of areas with free surfaces.

**Key words:** *numerical solution, inverse nonlinear boundary value problems, quasiconformal mapping, warped environments, free surfaces.*

Отримано: 25.06.2008

УДК 628.113.2:66.067.1+517.95

**А. Я. Бомба<sup>1</sup>, І. М. Присяжнюк<sup>1</sup>, А. П. Сафоник<sup>2</sup>**

<sup>1</sup>*Рівненський державний гуманітарний університет*

<sup>2</sup>*Національний університет водного господарства та природокористування, м. Рівне*

## **ЗАКОНОМІРНОСТІ ФІЛЬТРУВАННЯ У ДВОШАРОВИХ ФІЛЬТРАХ**

У даній роботі встановлено аналітичні закономірності масопереносу в двошарових фільтрах, що функціонують за законами, прототипами яких є лінійна модель Мінца. Проведено аналіз роботи двошарових фільтрів у хвильовому режимі. Оптимізовано основні параметри процесу фільтрування.

**Ключові слова:** *фільтр, масопереніс, оптимізація.*

**Вступ.** Фільтрування в напрямку зменшення еквівалентного діаметру гранул завантаження – один з загальноновизнаних методів під-

вищення ефективності роботи фільтрів [1]. В складних технологічних умовах, що змінюються, оптимальний гранулометричний склад завантаження повинен був би залежати від часу. Проте через складнощі реалізації і експлуатації на практиці фільтрування не отримали широкого розповсюдження навіть фільтри з “неперервно” неоднорідним завантаженням. З цих же причин фактично обмежуються різними апроксимаціями оптимального гранулометричного складу завантаження, еквівалентний діаметр гранул якого “неперервно” спадає в напрямку фільтрування за певним законом, за рахунок використання  $n$ -шарових фільтрів. Точність апроксимації, очевидно, тим більша, чим більше число  $n$  фільтруючих шарів. Відповідно складність експлуатації  $n$ -шарових фільтрів, зокрема, через ускладнення регенерації завантаження, із зростанням  $n$  зростає. Через невизначеність максимального економічного ефекту, який може бути отриманий при експлуатації фільтрів з оптимальним гранулометричним складом, на даний час протиріччя між точністю його апроксимації і складністю експлуатації фільтрів вирішується на користь зменшення останньої. Іншими словами, в практиці фільтрування найбільш поширені двошарові фільтри.

Поодинокі теоретичні роботи щодо закономірностей масопереносу у  $n$ -шарових фільтрах містять принципові недоліки. Так запропонована в [2] формула для часу захисної дії таких фільтрів не узгоджується з уявленнями про переваги фільтрування в напрямку спадання величини зерен завантаження. Розглянутий в [3] метод розрахунку багатшарових фільтрів базується на уявленнях про просування фронту шару, що досяг стану граничного насичення. Між тим, зокрема, з розв'язку Тихонова [4], який в термінології теорії фільтрування відповідає концентрації домішкових частинок у рідині, що фільтруються, впливає неможливість досягнення такого стану за обмежений час. В основу всіх інших розрахунків, наведених в [3], покладено факт існування у моделі Мінца [1] хвильових розв'язків, коли час захисної дії і час досягнення граничних втрат напорі  $n$ -шарових фільтрів можна подати, за певних умов, як суму відповідних часів окремих шарів. Разом з тим відомо, що модель Мінца хвильових розв'язків не має [1].

У даній роботі встановлено аналітичні закономірності масопереносу в двошарових фільтрах, що функціонують за законами, прототипами яких є лінійна модель Мінца [1], а також проаналізовано хвильовий режим їх роботи.

**Постановка задачі.** Розглянемо спочатку одношарові фільтри з однорідним завантаженням сталого перерізу, що функціонують за законами, прототипом яких є класична лінійна модель фільтрування [5], з урахуванням пористості та дифузії [6], а саме

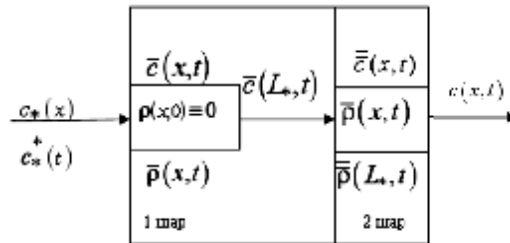
$$\begin{cases} \sigma(x) \frac{\partial c(x,t)}{\partial t} + \frac{\partial \rho(x,t)}{\partial t} + v \frac{\partial c(x,t)}{\partial x} = \frac{\partial}{\partial x} \left( D \frac{\partial c}{\partial x} \right), \\ \frac{\partial \rho(x,t)}{\partial t} = \varepsilon \beta c(x,t) - \alpha \rho(x,t) + \frac{\partial}{\partial x} \left( D^* \frac{\partial \rho}{\partial x} \right), \end{cases} \quad (1)$$

$$c|_{x=0} = c^*(t), \quad c|_{t=0} = c_*(x), \quad \rho|_{x=0} = \rho^*(t), \quad \rho|_{t=0} = \rho_*(x),$$

$$\left. \frac{\partial c}{\partial x} \right|_{x=L} = 0, \quad \left. \frac{\partial \rho}{\partial x} \right|_{x=L} = 0, \quad (2)$$

де  $x$  – координата в напрямку фільтрування,  $t$  – час,  $c(x, t)$  – концентрація домішок у рідині, що фільтрується,  $\rho(x, t)$  – концентрація осаду в завантаженні,  $\beta$  – коефіцієнт, що характеризує обсяги захоплених за одиницю часу домішкових частинок,  $\alpha$  – коефіцієнт, що характеризує обсяги відірваних за той же час частинок осаду,  $v$  – швидкість фільтрування,  $c^*(t)$ ,  $c_*(x)$  – концентрація завислих домішкових частинок відповідно на вході фільтра та в початковий момент часу,  $\rho^*(t)$ ,  $\rho_*(x)$  – концентрація осаду у завантаженні відповідно на вході фільтра та в початковий момент часу,  $\sigma_*(x)$  – пористість завантаження,  $D$ ,  $D^*$  – коефіцієнти дифузії, де  $D = \begin{bmatrix} D_1 = b_1 \varepsilon, \\ D_2 = b_2 \varepsilon, \end{bmatrix}$ ,  $D^* = \begin{bmatrix} D_{*1} = b_{*1} \varepsilon, \\ D_{*2} = b_{*2} \varepsilon, \end{bmatrix}$ ,  $0 < b_1 \leq 1$ ,  $0 < b_2 \leq 1$ ,  $0 < b_{*1} \leq 1$ ,  $0 < b_{*2} \leq 1$ ,  $\varepsilon$  – малий параметр.

Надалі змінні і параметри, що стосуються конкретного шару, будемо позначати відповідною кількістю рисок зверху. Схема розподілу концентрацій завислих домішкових частинок та осаду у завантаженні зображена на *рис. 1*.



**Рис. 1.** Схема розподілу концентрацій забруднень у фільтрі

Запобігаючи зайвим ускладненням, будемо вважати, що у вихідному стані двошаровий фільтр не містить осаду  $\rho_*(x)=0$ ,  $\rho^*(0)=0$ , а концентрація домішкових частинок на вході у перший шар  $c_*(x)$ ,  $c^*(t)$ . Згідно [5, 7] за цих припущень концентрація домішкових час-

тинок на виході першого шару та густина насичення завантаження осадком у першому шарі відповідно дорівнюють

$$\begin{aligned}\bar{c}(x, t) &= \bar{c}_0(x, t) + \sum_{i=1}^n \varepsilon^i \bar{c}_i(x, t) + \bar{R}_1(x, t, \varepsilon), \\ \bar{\rho}(x, t) &= \bar{\rho}_0(x, t) + \sum_{i=1}^n \varepsilon^i \bar{\rho}_i(x, t) + \bar{R}_2(x, t, \varepsilon),\end{aligned}\quad (3)$$

де

$$\bar{\rho}_0(x, t) = 0, \quad \bar{c}_0(x, t) = \begin{cases} c_* (v^2 / (x - vt)), & t \leq x/v, \\ c_*^* (t - x/v), & t > x/v, \end{cases}$$

$$\bar{\rho}_i(x, t) = e^{-2\alpha_i t} \int_0^t \bar{\Phi}_i(x, \tilde{t}) d\tilde{t},$$

$$\bar{c}_i(x, t) = \begin{cases} \int_0^t \frac{\bar{W}_i\left(\frac{v^2}{x - v(t - \tilde{t})}, \tilde{t}\right)}{\sigma\left(\frac{v^2}{x - v(t - \tilde{t})}\right)} d\tilde{t}, & t \leq \frac{x}{v}, \\ \frac{1}{v} \int_0^x \frac{\bar{W}_i\left(\tilde{x}, \frac{1}{v}(\tilde{x} - x + t)\right)}{\sigma(\tilde{x})} d\tilde{x}, & t > \frac{x}{v}, \end{cases} \quad \bar{W}_i(x, t) = \bar{\Psi}_i(x, t) - \frac{\partial \bar{\rho}_i}{\partial t},$$

де  $\bar{\Psi}_i(x, t) = \frac{\partial^2 \bar{C}_{i-1}(x, t)}{\partial x^2}$ ,  $\bar{\Phi}_i(x, t) = \frac{\partial^2 \bar{\rho}_{i-1}(x, t)}{\partial x^2} + \beta \bar{c}_{i-1}(x, t)$   $i = 1, 2, \dots$

Аналогічно до (3) і врахувавши додаткову умову згладжування на переході між двома шарами фільтру

$$\bar{c}(L_* - 0, t) = \bar{c}(L_* + 0, t), \quad \bar{\rho}(L_* - 0, t) = \bar{\rho}(L_* + 0, t),$$

$$D_1 \left. \frac{\partial \bar{c}}{\partial x} \right|_{x=L_*} = D_2 \left. \frac{\partial \bar{c}}{\partial x} \right|_{x=L_*}, \quad D_{*1} \left. \frac{\partial \bar{\rho}}{\partial x} \right|_{x=L_*} = D_{*2} \left. \frac{\partial \bar{\rho}}{\partial x} \right|_{x=L_*},$$

де  $L_*$  – довжина першого шару фільтру, концентрація домішкових частинок на виході другого шару та густина насичення завантаження осадком у другому шарі відповідно дорівнюють

$$\begin{aligned}\bar{c}(x, t) &= \bar{c}_0(x, t) + \sum_{i=1}^n \varepsilon^i \bar{c}_i(x, t) + \sum_{i=0}^{n+1} \varepsilon^i \bar{M}_i(\xi, t) + \bar{R}_1(x, t, \varepsilon), \\ \bar{\rho}(x, t) &= \bar{\rho}_0(x, t) + \sum_{i=1}^n \varepsilon^i \bar{\rho}_i(x, t) + \sum_{i=0}^{n+1} \varepsilon^{i/2} \bar{P}_i(\mu, t) + \bar{R}_2(x, t, \varepsilon),\end{aligned}\quad (4)$$

$$\text{де } \bar{\bar{\rho}}_0(x,t) = \bar{Q}(x,t)e^{-\alpha_2 t}, \quad \bar{\bar{\rho}}_i(x,t) = e^{-2\alpha_2 t} \int_0^t \frac{\partial^2 \bar{\bar{\rho}}_{i-1}(x,\tilde{t})}{\partial^2 x} d\tilde{t},$$

$$\bar{\bar{c}}_0(x,t) = \begin{cases} -\alpha_2 \int_0^t \frac{\bar{G}\left(\frac{v^2}{x-v(t-\tilde{t})}, \tilde{t}\right) e^{-\alpha_2 \tilde{t}}}{\sigma\left(\frac{v^2}{x-v(t-\tilde{t})}\right)} d\tilde{t} + \bar{S}\left(\frac{v^2}{x-vt}, t\right), & t \leq \frac{x}{v}, \\ -\frac{\alpha_2}{v} \int_0^x \frac{\bar{G}(\tilde{x}, t) e^{-\frac{\alpha_2}{v}(\tilde{x}-x+t)}}{\sigma(\tilde{x})} d\tilde{x} + \bar{S}\left(x, t - \frac{x}{v}\right), & t > \frac{x}{v}, \end{cases}$$

$$\text{де } \bar{Q}(x,t) = \frac{D_{*1}}{D_{*2}} \bar{\rho}(x,t) + \bar{\rho}(L_1, t) \left(1 - \frac{D_{*1}}{D_{*2}}\right),$$

$$\bar{S}(x,t) = \frac{D_1}{D_2} \bar{c}(x,t) + \bar{c}(L_1, t) \left(1 - \frac{D_1}{D_2}\right), \quad \bar{G}(x,t) = -\frac{\partial \bar{\bar{\rho}}_0(x,t)}{\partial t},$$

$$\bar{\bar{c}}_i(x,t) = \begin{cases} \int_0^t \frac{\bar{\bar{W}}_i\left(\frac{v^2}{x-v(t-\tilde{t})}, \tilde{t}\right)}{\sigma\left(\frac{v^2}{x-v(t-\tilde{t})}\right)} d\tilde{t}, & t \leq \frac{x}{v}, \\ \frac{1}{v} \int_0^x \frac{\bar{\bar{W}}_i\left(\tilde{x}, \frac{1}{v}(\tilde{x}-x+t)\right)}{\sigma(\tilde{x})} d\tilde{x}, & t > \frac{x}{v}, \end{cases} \quad \bar{\bar{W}}_i(x,t) = \frac{\partial^2 \bar{\bar{c}}_{i-1}}{\partial x^2} - \frac{\partial \bar{\bar{\rho}}_i}{\partial t}.$$

Функції  $\bar{\bar{M}} = \sum_{i=0}^{m+1} \bar{\bar{M}}_i \varepsilon^i$ ,  $\bar{\bar{P}} = \sum_{i=0}^{m+1} \bar{\bar{P}}_i \varepsilon^{i/2}$ , призначені для усунення неузгодженостей, внесених побудованими регулярними частинами

$\bar{\bar{c}}(x,t) = \sum_{i=0}^m \bar{\bar{c}}_i \varepsilon^i$ ,  $\bar{\bar{\rho}}(x,t) = \sum_{i=0}^m \bar{\bar{\rho}}_i \varepsilon^i$  в околі точки  $x = L$  (виходу фільтр-

траційної течії).  $\bar{\bar{R}}_1, \bar{\bar{R}}_2$  – залишкові члени. Розв'язки відповідних задач знаходяться у явному вигляді [5, 6].

Отже, вирази (3)-(4) описують процеси масопереносу у двошарових фільтрах, кожний шар яких функціонує за законами (1)-(2) із своїми коефіцієнтами  $\beta_i, a_i$  ( $i = 1, 2$ ), з точністю до перехідних процесів, як і класична лінійна модель [1].

З виразів (3), (4) можна знаходити час захисної дії двошарових фільтрів  $t_3$  і зовсім не очевидно, що за будь-яких умов  $t_3 = t_{31} + t_{32}$ , де  $t_{31}, t_{32}$  – відповідно час захисної дії першого і другого шару. Теж стосується і часу досягнення гранично допустимих втрат напору  $t_H$ .

Далі розглянемо як самостійне питання і як один з можливих алгоритмів для чисельних розрахунків на підставі встановлених вище закономірностей найбільш простий випадок масопереносу у двошарових фільтрах – хвильовий режим [7].

У якості критерію оптимальності  $K_2$  роботи двошарового фільтра у хвильовому режимі виберемо спочатку відношення вартості об'єму фільтрата  $Q_F$  необхідної якості, отриманого за час захисної дії фільтра  $t_3$  до вартості завантаження  $s_\phi$ , тобто

$$K_2 = Q_F / s_\phi. \quad (5)$$

Очевидно,  $Q_F = vSt_3s_F$ , де  $S$  – площа поперечного перерізу завантаження,  $s_F$  – вартість одиниці об'єму фільтрата. Відповідно, вартість завантаження знаходимо за формулою

$$s_\phi = S[s_1L + s_2(L - L^*)]. \quad (6)$$

Тут  $s_1, s_2$  – вартість одиниці об'єму гранул завантаження з діаметром  $d_1$  і  $d_2$  відповідно;  $L_1$  – товщина першого в напрямку фільтрування шару фільтра з діаметром гранул  $d_1$ .

Як показано в [7], у хвильовому режимі

$$t_3 \approx L^* / \sigma_1 + (L - L^*) / \sigma_2,$$

де  $\sigma_i = c_0v / \rho_{*i}$ ,  $\rho_{*i} = r_i c_0 / v^{1,7} d_i^{1,7}$ ,  $r_i = const$  [5,13],  $i = 1, 2$ .

З (5), (6) отримаємо

$$K_2 = l \left[ Lr_2 / d_2^{1,7} + L^* (r_1 / d_1^{1,7} - r_2 / d_2^{1,7}) \right] / (L - L^*(1 - m)). \quad (7)$$

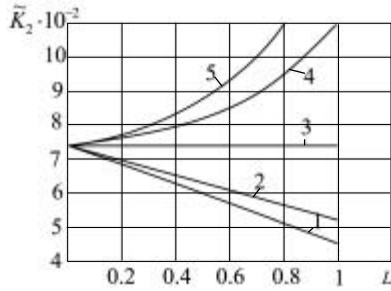
Тут  $l = s_F / s_2$ ,  $m = s_1 / s_2$ .

Неважко переконатися, що визначений таким чином критерій

$K_2$  як функція від  $L^*$  максимуму не має. Дійсно, з умови  $\frac{\partial K_2}{\partial L^*} = 0$

впливає рівність  $s_1\sigma_1 = s_2\sigma_2$ , яка рівносильна умові пропорційності чисельника і знаменника у виразі (7). Отже, критерій  $K_2$  – це або стала, або монотонно спадна, або монотонно зростаюча функція від  $L^*$ .

Результати обчислення нормованого критерію  $\tilde{K}_2 = K_2 / l$  при  $r_1 = r_2 = 1.8 \cdot 10^{-7}$  ( $m^2 / c$ )<sup>1,7</sup>,  $L = 1$  м,  $v = (1/360)$  м/с,  $d_1 = 1,2 \cdot 10^{-3}$  м,  $d_2 = 0,8 \cdot 10^{-3}$  м, різних значеннях  $m$  як функції від  $L^*$  наведені на рис. 2.



**Рис. 2.** Залежність нормованого критерію оптимальності роботи двошарового фільтру у хвильовому режимі  $\tilde{K}_2$  від товщини першого шару  $L^*$  при різних  $m$ . Крива 1 –  $m = 0,8$ ; 2 –  $0,7$ ; 3 –  $0,5$ ; 4 –  $0,33$ ; 5 –  $0,25$

Отже, при  $m > 0,5$  критерій оптимальності процесу фільтрування  $\tilde{K}_2$  спадає із зростанням  $L^*$ , при  $m < 0,5$  зростає, а при  $m = 0,5$  практично не змінюється. Це означає, що при вибраному критерії оптимальності процесу фільтрування у хвильовому режимі замість двошарових фільтрів вигідніше використовувати одношарові фільтри з однорідним завантаженням. Так, якщо в розглянутому випадку  $m > 0,5$ , то доцільніше використовувати одношарові фільтри з ефективним діаметром гранул завантаження  $d_2$ . Якщо ж  $m < 0,5$ , то з діаметром  $d_1$ .

Надалі логічно підсилити критерій оптимальності  $K_2$  вимогою обов'язкового виконання рівності  $t_3 = t_H$ . Тоді при заданих параметрах, характеристиках, властивостях завантаження і рідини, що фільтрується, товщина першого шару двошарового фільтру  $L^*$  вже не буде незалежною змінною і може бути знайдена з наведених нижче міркувань.

За умови, що наявний гідравлічний напір  $H_{np}$  дорівнює напору, необхідному для просування фронту концентрацій  $c$  і  $\rho$  через фільтр, тобто, якщо  $t_3 = t_H$ , для втрат напору буде мати місце рівність

$$i_{H1}L^* + i_{H2}(L - L^*) = H_{np}.$$

Звідси

$$L^* = \frac{i_{H2}L - H_{np}}{i_{H2} - i_{H1}}, \quad (8)$$

де  $i_{H1}$ ,  $i_{H2}$  – відповідно гідравлічний похил у стані насичення першого і другого шарів завантаження.

Згідно [7], початковий гідравлічний похил  $i_0$  обчислюється за формулою

$$i_0 = \psi \frac{v}{d^2}, \quad (9)$$

де  $\psi = \frac{0,188a^2 \mu(1-\sigma_0)^2}{\sigma_0^3}$ ,  $a$  – коефіцієнт форми,  $\mu$  – в'язкість води,

$\sigma_0$  – пористість чистого завантаження.

Проте, незважаючи на те, що формула (9) є загальноприйнятою у гідравлічних розрахунках швидких фільтрів і входить в усі підручники, де не завжди дотримуються однієї системи величин, значення  $\psi$  у ній, при обчисленні в системі СІ, повинні бути на порядок меншими. Дійсно, за означенням

$$i_0 = \frac{P}{\gamma L},$$

де  $P$  – перепад тиску на завантаженні фільтра товщиною  $L$ ,  $\gamma$  – питома вага води.

Так як  $i_0$  – безрозмірна величина,  $[P] = \text{Па} = \text{н/м}^2$ ,  $[L] = \text{м}$ , то  $[\gamma] = \text{н/м}^3$ . При визначенні ж величини  $\psi$  вважалось, що  $\gamma = 1000 \text{ кг/м}^3$ , а не  $\gamma = 98100 \text{ н/м}^3$ . Тому в системі СІ у виразі (9) величина  $\psi$  повинна обчислюватися принаймні за формулою

$$\psi = \frac{0,019a^2 \mu(1-\sigma)^2}{\sigma^3}. \quad (10)$$

(У протилежному випадку при однакових  $v$  і  $d$  будемо отримувати завищені на порядок значення для  $i_0$  в порівнянні з даними).

Величини  $i_{H1}$ ,  $i_{H2}$  знаходимо за відомою формулою з [1]

$$i = i_0 \left( \frac{\sigma_0}{\sigma} \right)^3.$$

Отже,

$$i_{H1} = i_0 / \left( 1 - \frac{\rho_{*1}}{\sigma_0 \gamma_0} \right)^3, \quad i_{H2} = i_0 / \left( 1 - \frac{\rho_{*2}}{\sigma_0 \gamma_0} \right)^3. \quad (11)$$

Тут враховано, що  $\sigma = \sigma_0 \left( 1 - \frac{\rho_{*}}{\sigma_0 \gamma_0} \right)$ .

Після підстановки виразів (9), (11) в (8) дістанемо

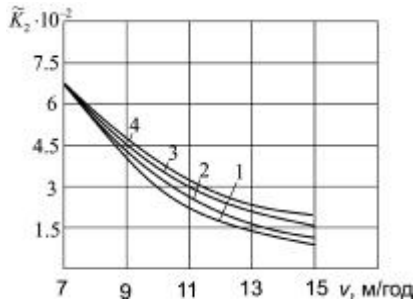
$$L_* = \frac{\left[ Hd_2^2 \left( 1 - \frac{R_2}{\sigma_0 \gamma_0 v^{1,7}} \right)^3 - L \psi_2 v \right] d_1^2 \left( 1 - \frac{R_1}{\sigma_0 \gamma_0 v^{1,7}} \right)^3}{v \left[ \psi_1 d_2^2 \left( 1 - \frac{R_2}{\sigma_0 \gamma_0 v^{1,7}} \right)^3 - \psi_2 d_1^2 \left( 1 - \frac{R_1}{\sigma_0 \gamma_0 v^{1,7}} \right)^3 \right]}, \quad (12)$$

де  $R_i = r_i c_0 / d_i^{1,7}$ ,  $i = 1, 2$ .



Очевидно, у випадку, що розглядається, залежність критерію оптимальності  $\tilde{K}_2$  від  $L_*$  така сама як і у попередньому випадку, див. *рис. 2*. Отже, в залежності від значення  $m$  для збільшення критерію  $\tilde{K}_2$  треба або збільшувати, або зменшувати  $L_*$  шляхом вибору значень параметрів, що фігурують в (12). Діапазон можливої зміни  $L_*$  визначається допустимими діапазонами зміни цих параметрів.

Результати обчислення нормованого критерію  $\tilde{K}_2 = K_2 / l$  при  $r_1 = r_2 = 1.8 \cdot 10^{-7}$ ,  $(m^2 / c)^{1.7}$ ,  $\psi_1 = \psi_2 = 0,152 \cdot 10^{-3}$  мс,  $L = 1$  м,  $H = 3$  м,  $\sigma_0 = 0,4$ ,  $d_1 = 1,2 \cdot 10^{-3}$  м,  $d_2 = 0,8 \cdot 10^{-3}$  м,  $\gamma_0 = 3 \cdot 10^3$  кг/м<sup>3</sup>,  $c_0 = 5$  кг/м<sup>3</sup>, різних значеннях  $m$  як функції від  $v$  наведені на *рис. 3*.



*Рис. 3. Залежність нормованого критерію оптимальності роботи*

*двошарового фільтру у хвильовому режимі  $\tilde{K}_2$  від швидкості фільтрування  $v$  при різних  $m$ . Крива 1 –  $m = 0,8$ ; 2 –  $0,5$ ; 3 –  $0,25$ ; 4 –  $0,08$*

Проведений додатковий чисельний аналіз також підтверджує спадний характер залежності підсиленого критерію оптимальності  $\tilde{K}_2$  від  $v$  в області реальних значень параметрів, що фігурують у виразах (7), (12). Це дозволяє зробити висновок про доцільність проведення фільтрування у хвильовому режимі роботи двошарового фільтру з мінімально можливою швидкістю, при якій забезпечується його мінімально допустима продуктивність.

Таким чином, на підставі вищевикладеного можна зробити наступні **висновки**: критерій  $K_2$  оптимальності процесу фільтрування за допомогою двошарових фільтрів у хвильовому режимі – це або стала, або монотонно спадна, або монотонно зростаюча функція від товщини першого шару  $L_*$ , в залежності від відносної вартості одиниці об'єму завантаження першого і другого шарів  $m$ . Якщо критерій  $K_2$  підсилений вимогою  $t_3 = t_H$ , то в залежності від  $m$  для досягнення його найбільшого значення необхідно знайти відповідне найбіль-

ше або найменше значення  $L_*$  шляхом зміни параметрів, що фігурують в (12), у допустимому діапазоні. В області реальних значень параметрів, що входять в (7), (12), підсилений критерій  $K_2$  із зростанням швидкості фільтрування зменшується.

### Список використаних джерел:

1. Жуховицкий А. А., Забежинский Я. Л., Тихонов А. Н. Поглощение газа из тока воздуха слоем зернистого материала // Журн. физ. химии. – 1945. – Т.19. – Вып 6. – С.253-261.
2. Минц Д. М. Теоретические основы технологии очистки воды. – М.: Стройиздат, 1964. – 156 с.
3. Ярошевская Н. В., Кульский Л. А. Метод расчета многослойного фильтра и контактного осветлителя // Химия и технол. воды. – 1985. – Т.7. – №4. – С.3-5.
4. Жуховицкий А. А., Забежинский Я. Л., Тихонов А. Н. Поглощение газа из тока воздуха слоем зернистого материала // Журн. физ. химии. – 1945. – Т.19. – Вып. 6. – С.253-261.
5. Бомба А. Я., Присяжнюк І. М., Сафоник А. П. Закономірності фільтрування з урахуванням дифузії // Вісник Тернопільського державного технічного університету імені І. Пулюя. – 2007. – Т.12. – №2. – С.146-152.
6. Сафоник А. П. Нелінійні сингулярно збудені математичні моделі процесів // Волинський математичний вісник. Серія: Прикладна математика. – 2007. – Вип. 4(13). – С.119-128.
7. Демчик І. І. Хвильовий режим масопереносу в  $n$ -шарових фільтрах // Вісник РДТУ (збірник наукових праць). – 2002. – Вип. 3(16). – С.164-175.

In this work determined exact analytical conformities to the mass transfer regularities in the two-beds filters, which function after laws the prototypes of which is a linear model of Mints. There was conducted the analysis of the two-beds filters work in the wave regime. The basic parameters of process of filtration are optimized.

**Key words:** *filter, mass transfer, optimization.*

Отримано: 21.05.2008